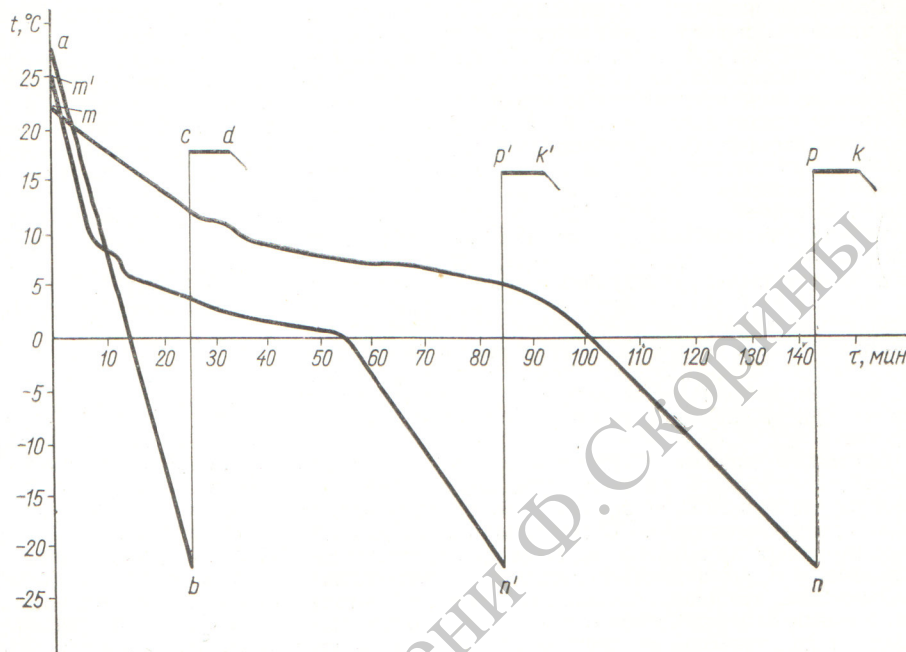


в радиационном контуре, ниже температуры  $+13^{\circ}\text{C}$  использование ловушки в системе коммуникаций контура неподходящим.

(№ 141/4056. Поступила в Редакцию 29/XI 1966 г. Полный текст 0,65 а. л., 2 рис., библиография 11 названий.)

Термические кривые охлаждения индий-галлиевого сплава.



## ЛИТЕРАТУРА

- Г. И. Кикнадзе, В. Г. Гамбари, Д. М. Захаров. К вопросу создания промышленных радиационных контуров. «Атомная энергия», 1967 г. (в печати).
- Г. И. Кикнадзе и др. «Атомная энергия», 19, 178 (1965).
- А. Е. Вол. Строение и свойства двойных металлических систем. М., Физматгиз, 1962.
- А. А. Бочвар. Исследование механизма и кинетики кристаллизации сплавов эвтектического типа. ОНТИ, 1935.

## Рассеяние $\gamma$ -квантов с энергией 0,511 Мэв защитными барьераами

Б. М. СКОВОРЦОВ, В. В. ЧЕРНЯХОВСКИЙ, Л. С. ШЕЙМАН,  
Д. Б. ПОЗДНЕЕВ

УДК 539.122:539.121.72

В статье приведены результаты экспериментального исследования рассеяния «узкого пучка»  $\gamma$ -квантов с энергией 0,511 Мэв (изотоп  $\text{Cu}^{64}$ ) графитовыми и кадмievыми барьераами, а также даны величины альбедо точечного изотропного источника  $\gamma$ -излучения с той же энергией, находящегося в тесном контакте с такими же защитными барьераами.

В эксперименте одновременно исследовалось спектрально-угловое распределение прошедшего сквозь защитные барьеры и обратно рассеянного  $\gamma$ -излучения путем использования двух сцинтиляционных спектрометров с последующей обработкой приборных спектров, регистрируемых анализаторами АИ-100, при помощи инверсных матриц чувствительности спектрометров на электронно-вычислительной машине. Пучок первичных фотонов падал нормально к рассеивающему барьеру. Применялись барьеры переменной толщины  $x$  из графита (до  $x = 1,83$  длины свободного пробега первичных  $\gamma$ -квантов) и кадмия (до  $x = 0,96$ ). Измерения проводились для углов  $\theta$  (отсчитываемых от нормали к плоскому барьеру)  $30-80^{\circ}$  при изучении обратного рассеяния и  $0-70^{\circ}$  при исследовании прохождения (с интервалом в  $10^{\circ}$ ).

Эксперимент с точечным изотропным источником осуществлялся по методике, описанной в работе Д. Б. Позднеева\*.

Результаты опытов показывают, что зависимость интегрального числового и энергетического альбедо от толщины барьера  $x$  (как в случае нормально падающего узкого пучка  $\gamma$ -квантов, так и в случае точечного изотропного источника) может быть выражена эмпирической формулой

$$A(x) = A(\infty)(1 - e^{-\alpha x}), \quad (1)$$

где  $A(\infty)$  — значение альбедо для полубесконечной среды;  $\alpha$  — эмпирическая величина. В работе даны значения  $A(\infty)$  и  $\alpha$  для исследованных защит.

Приводятся данные о числовом и энергетическом дифференциальном альбедо для различных толщин рассеивающих барьеров. Результаты анализа представлены в виде графиков, эмпирической формулы и таблиц, удобных для практического использования.

\* Д. Б. Позднеев. «Атомная энергия», 20, 317 (1966).

Обсуждается роль однократного и многократного рассеяния квантов в процессе обратного рассеяния.

На приведенном в статье рисунке показана зависимость суммарного (определенного экспериментально) альбедо и альбедо, обусловленного однократным рассеянием, от толщины графитового барьера для нормального мононаправленного источника. Проводится сравнение энергетических спектров обратно рассеянного излучения для мононаправленного и точечного изотропного источников при различных толщинах защитных барьеров.

## Обратное рассеяние позитронов от мишеней различного состава

Л. М. БОЯРШИНОВ

Изучалось обратное рассеяние (отражение) позитронов от мишеней из 17 различных элементов, 7 сплавов и 14 порошковых смесей и химических соединений.

Исследования проводились с позитронным источником  $\beta$ -излучения из  $Na^{22}$ ; результаты сопоставлялись с данными, полученными при применении электронного источника  $\beta$ -излучения из  $Tl^{204}$ .

Установлено, что в интервале порядковых атомных номеров 22–83 интенсивность отраженного позитронного  $\beta$ -излучения, так же как и электронного, меняется по показательному закону

$$I_{\beta+} = AZ^n, \quad (1)$$

где  $A$  — постоянная, зависящая от мощности источника и геометрии измерений;  $n$  — показатель степени, имеющий такую же величину (2/3), как и при отражении электронного  $\beta$ -излучения.

Изучено отражение позитронов от многокомпонентных систем. Для трех сплавов олова со свинцом (рис. 1)

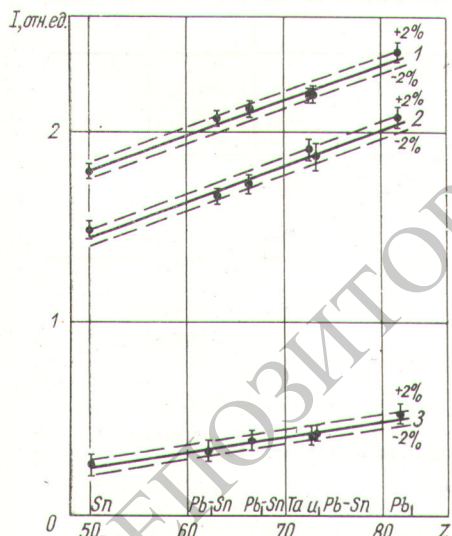


Рис. 1. Сопоставление интенсивности отраженного излучения  $I$  позитронов от мишеней из олова, tantalа, свинца и трех сплавов олова со свинцом с  $Z_{\text{эфф}}$ , равными 62,2; 67,6 и 73,0 соответственно [расчет по формуле (2)]:

1—измерения без дополнительных фильтров; 2, 3—с дополнительными фильтрами 2,4 и 31,5 мг/см<sup>2</sup> соответственно. Показана тройная среднеквадратичная ошибка.

Даются некоторые результаты исследования обратного рассеяния от двухслойных сред из графита и кадмия (кадмий покрывал барьер из графита со стороны падения первичных  $\gamma$ -квантов).

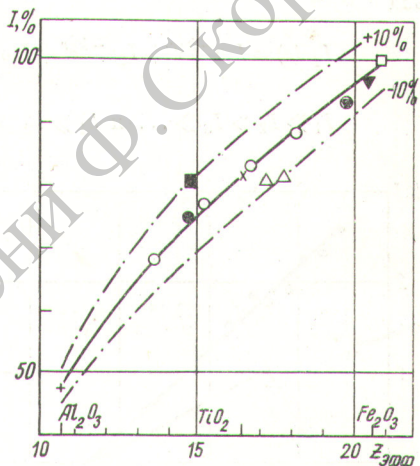
Рассмотрены энергетические спектры и угловые распределения прошедшего сквозь защитные барьеры рассеянного  $\gamma$ -излучения. Материал иллюстрирован графиками.

(№ 142/3982. Поступила в Редакцию 1/X 1966 г. Полный текст 0,9 а. л., 9 рис., 2 табл., библиография 30 названий.)

УДК 539.124.6:539.121.72

Рис. 2. Интенсивность отраженного излучения от мишеней из порошковых смесей и химических соединений:

- Al<sub>2</sub>O<sub>3</sub>+Fe<sub>2</sub>O<sub>3</sub>;
  - △—Al<sub>2</sub>O<sub>3</sub>+Fe<sub>2</sub>O<sub>3</sub>+TiO<sub>2</sub>;
  - ▼—Fe<sub>2</sub>O<sub>3</sub>+TiO<sub>2</sub>;
  - NaCl;
  - Fe<sub>2</sub>O<sub>3</sub>;
  - +—Al<sub>2</sub>O<sub>3</sub>;
  - ×—TiO<sub>2</sub>;
  - CaF<sub>2</sub>.
- Интенсивность отраженного излучения для Fe<sub>2</sub>O<sub>3</sub> принята за 100%.



установлено, что интенсивность отраженного излучения позитронов также определяется формулой (1), если эффективный атомный номер этих сплавов вычислять по формуле

$$Z_{\text{эфф}} = \sum p_i Z_i, \quad (2)$$

где  $p_i$  — весовое содержание компонента с атомным номером  $Z_i$ .

Формула (2) справедлива и при дополнительной фильтрации отраженного позитронного излучения. В работе показана применимость формулы (2) для сплавов (латуни, пермаллоя) с  $Z_{\text{эфф}}$ , соответствующими средним элементам Периодической системы элементов.

Для многокомпонентных систем с эффективными порядковыми номерами, совпадающими с  $Z$  легких элементов, справедливость формулы (2) проверялась на порошковых смесях окислов железа, алюминия, титана и других химических соединениях. При исследовании позитронного отражения от CaF<sub>2</sub> и NaCl с одинаковыми  $Z_{\text{эфф}}$  [расчет по формуле (2)] установлено, что интенсивность отраженного излучения от первого соединения на 5,2% превышает интенсивность отражения от второго. Для остальных порошковых мишеней отклонение значений от формулы (2) достигает  $\pm 10\%$  (рис. 2).

(№ 143/4015. Поступила в Редакцию 31/X 1966 г. Полный текст 0,7 а. л., 8 рис., 2 табл., библиография 9 названий.)